

ENCYCLOPAEDIA CINEMATOGRAFICA

Editor: G. WOLF

E 758/1965

**Zerspanen von Stahl 100 Cr 6
Spanbildung beim Drehen**

Mit 3 Abbildungen

GÖTTINGEN 1968

INSTITUT FÜR DEN WISSENSCHAFTLICHEN FILM

Zerspanen von Stahl 100 Cr 6 Spanbildung beim Drehen¹

H.-G. WIEBACH und G. WARNECKE, Hannover

Allgemeine Vorbemerkungen

Die Spanbildung als Beurteilungsmerkmal der Zerspanbarkeit

Nach einer Aufschlüsselung des Begriffs „Zerspanbarkeit“ in die vier Hauptbeurteilungsfaktoren — Standzeit, Energiebedarf, Oberflächen-güte, Spanbildung — von SCHALLBROCH und BETHMANN [9] sind Zerspanungsstudien mit Hilfe des Films unter dem Stichwort „Spanbildung“ einzuordnen. Die Fragen der Spanbildung lassen sich in die entstehende Spanform und in die Vorgänge in der Spanwurzel untergliedern.

Die Spanform ist das qualitative Beurteilungsmerkmal der makro-geometrischen Form, wobei grob zwischen Wendel-, Spiral-, Band- und Wirrspänen unterschieden wird. Weiter werden der Spanrand, die Spanunterseite, die Spanfestigkeit und die Aufbauschneide als Beurteilungsmerkmale herangezogen (SCHALLBROCH und BETHMANN [9]). Als Maßstab für den Raumbedarf der Späne gilt die Spanraumzahl R , die die „Sperrigkeit“ der Späne angibt. Sie ist als das Verhältnis des Volumen der ungeordneten Spanmenge zum zerspannten Werkstoffvolumen definiert.

¹ Angaben zum Film und Filminhalt (deutsch, englisch, französisch) s. S. 10.

Die Vorgänge in der Spanwurzel erstrecken sich auf die Verformungen im Werkstück unterhalb der Schnittfläche und im Span bei mikrogeometrischer Betrachtung (WIEBACH [13]) und auf die Spanbildungsmechanismen an der Spanentstehungsstelle bei makrogeometrischer Betrachtung.

Spanentstehung — Spantypen — Aufbauschneide

Der Schnittvorgang selbst ist annähernd so zu deuten, daß der Werkstoff nach einer Stauchung auf der Spanfläche längs einer sogenannten Scherebene abgeschert wird und als Span mit lamellenartiger Schichtung über die Spanfläche gleitet. Die Werkstoffeigenschaften und die Schnittbedingungen bestimmen die Dicke und den Zusammenhalt der Lamellen.

Aufgrund von Spanuntersuchungen haben ROSENHAIN und STURNEY [8] drei Spantypen geprägt, deren Einteilung sich als recht sinnvoll erwiesen hat: 1. der Reißspan, der beim Zerspanen von spröden Werkstoffen durch Vorreißen und Abplatzen einzelner Werkstoffelemente entsteht, 2. der Scherspan, ein zusammenhängender Span mit deutlicher Lamellierung, und 3. der Fließspan mit gleichmäßig feiner Lamellenbildung.

Zur Abgrenzung des Scherspans vom Fließspan bedarf es eines zu definierenden Kriteriums, das RICHTER [5] aus einer Bruchprobe ableitet. Sie besagt, daß der Scherspan entlang der Lamellenebene bricht, während der Fließspan unregelmäßig bricht. RÖHLKE [7] hat festgestellt, daß der Lamellenabstand bei typischen Fließspänen unter etwa 0,05 mm lag und daß sich damit eine recht gute Übereinstimmung mit der Bruchprobe ergab.

Eine Besonderheit bei der Spanbildung ist die Aufbauschneide (Schneidenansatz), die vor allem im Scherspanbereich beim Zerspanen zäher, leicht schmierender Werkstoffe durch Verschweißung und Grenzschichtdiffusion feiner Teile des Spans mit der Spanfläche entsteht (RICHTER [6]).

Geometrie bei der Spanentstehung

Die makrogeometrische Spanverformung ist durch Messung der Spanungsdicke h_1 und der Dicke des ablaufenden Spanes h_2 einfach zu bestimmen.

Die Spanstauchung $\lambda = h_2/h_1$ stellt ein Maß für das Verformungsverhalten des Werkstoffes beim Zerspanungsvorgang dar. Sie hängt von den gegebenen Schnittbedingungen und den Werkstoffeigenschaften ab und läßt damit als Meßergebnis aus Zerspanungsuntersuchungen Rückschlüsse auf den zerspannten Werkstoff zu.

1. dem Wirkungswinkel, der Differenz aus Reibungs- und Spanwinkel,
2. dem Spanwinkel,
3. dem Schiebungswiderstand, einer definierten Schubspannung,
4. der Schnittgeschwindigkeit.

Die anderen Faktoren, wie Spannungsdicke, Spannungsbreite, die anderen Winkel am Wirkpaar usw., haben nur indirekt über die vier oben genannten Faktoren einen Einfluß auf die Spanbildung (ZOREW [12]).

Zur Entstehung des Films

Die Zerspanungsvorgänge wurden sowohl im Langdrehschnitt mit einem Einstellwinkel $\kappa = 60^\circ$ als auch im angenäherten Orthogonal-

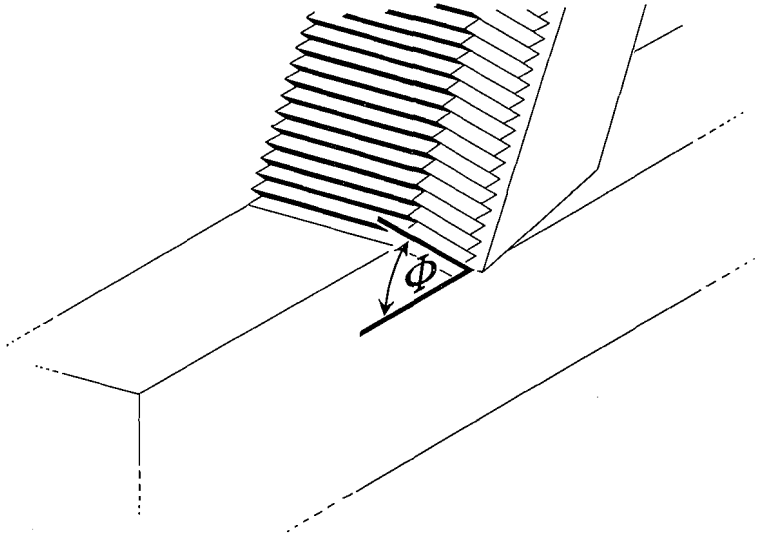


Abb. 2. Reiner Orthogonalprozeß
(Aus RÖHLKE [7])

schnitt als Rohrstirneinstich aufgenommen. — Der reine Orthogonalprozeß (Abb. 2) ist unter bestimmten Bedingungen beim Hobeln verwirklicht, wenn die Spannungsbreite kleiner als die Schneidenlänge ist, und kann beim Drehen durch Einstechen einer schmalen Scheibe (Abb. 3a) oder durch einen Rohrstirneinstich (Abb. 3b) angenähert werden. Der Orthogonalschnitt bietet allgemein den Vorteil eines Schnittes ohne Nebenschneideneinfluß und ermöglicht auch beim Drehen unter Vernachlässigung der Werkstückdurchmesseränderung über der Spannungsbreite eine zweidimensionale Darstellungsweise.

Als Versuchseinrichtung diente eine Universal-Drehmaschine¹ mit einem dem Räderkasten vorgeschalteten Verstellgetriebe zur stufenlosen Drehzahlverstellung, eine Hochfrequenz-Kamera (Fastax) auf einem gesonderten Stativ und ein Beleuchtungssystem von zehn 750-W-Spiegellampen und einer zusätzlichen Kohlebogenlampe für 2,5 mm Bildfeldbreite (WIEBACH [10]).

Beim Langdrehschnitt war die Kamera mit ihrer Aufnahmerichtung horizontal auf die Schneidenspitze ausgerichtet und um 15° gegen die Hauptschneidenrichtung versetzt aufgestellt. Beim Orthogonal-Schnitt stimmten Aufnahmerichtung und Hauptschneidenrichtung überein.

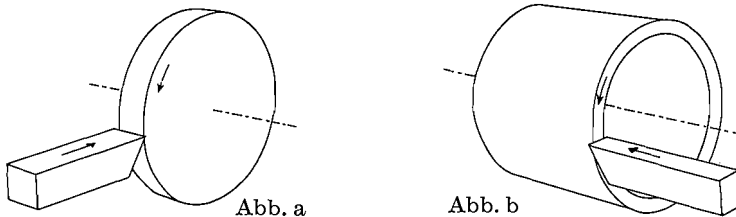


Abb. 3. Angenäherte Orthogonalprozesse
a: Abdrehen einer Scheibe; b: Stirndrehen eines Rohres
(Nach RÖHLKE [7])

Technologische Angaben

Werkstück: a) legierter Werkzeugstahl 100 Cr 6, Werkstoffblatt 200-63, Werkstoffnummer: 1.2067. Verwendung: Verschleißteile, Druckscheiben und -ringe, Biege- und Bördelrollen, Scherenmesser, Waagenschneiden. b) Wälzlagerstahl 100 Cr 6 (W3), Werkstoffblatt 350-53, Werkstoffnummer: 1.3505. Verwendung: Kugeln und Rollen aller Abmessungen.

Werkzeuge: 1. rechter, gebogener Drehmeißel nach DIN 4972; 2. rechter, abgesetzter Seitendrehmeißel nach DIN 4980; Zerspanungs-Anwendungs-Gruppe nach DIN 4990: P 20.

Filmbeschreibung

Langdreh-Schnitt

$$\text{Einstellwinkel } \alpha = 60^\circ$$

$$24 \text{ B/s}^2$$

Die Übersichtsaufnahme mit normaler Ablaufgeschwindigkeit zeigt das bekannte Bild beim Längsdrehen eines glatten, zylindrischen Werk-

¹ Der Firma HEIDENREICH & HARBECK, Hamburg, die für die Untersuchungen eine geeignete Maschine (VDF-Modell 18 RO) zur Verfügung stellte, sei an dieser Stelle besonders gedankt.

² Die *Kursiv*-Überschriften entsprechen den Zwischentiteln im Film.

stückes. Der Span entsteht vom Anschnitt an als Wirrspan ohne definierbare geometrische Form.

*Schnittgeschwindigkeit $v = 60 \text{ m/Min.}$
Spanndicke¹ $h = 0,28 \text{ mm}$; Spanwinkel $\gamma = 12^\circ$
8000 B/s; Bildfeldbreite 10 mm*

Die Lupenaufnahme mit 330facher Zeitdehnung zeigt die Spanentstehungsstelle mit dem ablaufenden Span im einzelnen. Sichtbar läuft der fein lamellierte Fließspan als leicht gekrümmtes Band ab. Die stabile und gleichbleibende Scherzone (Scherwinkel etwa 23°) ist durch den fließenden Übergang der Vordrehrillen auf dem Werkstück zum Span, auf dessen Seitenfläche sie schwach sichtbar bleiben, gekennzeichnet. Die Spanstauchung von etwa 2,7 deutet eine mittlere Verformung des Spanes an.

Orthogonal-Schnitt
24 B/s

Die Übersichtsaufnahme mit normaler Bildgeschwindigkeit zeigt den Orthogonal-Schnitt beim Stirndrehen eines Rohres. Der Span formt sich anfangs zu der typischen Anschnittspirale, die bald in einen Wendelspan übergeht. Durch Spanabzug läuft er schließlich als Bandspan ab.

*$v = 60 \text{ m/Min.}$; $h = 0,28 \text{ mm}$; $\gamma = 12^\circ$
5000 und 8000 B/s; Bildfeldbreite 10 und 5 mm*

Die Lupenaufnahmen mit — je nach Bildfeldbreite — 210- bzw. 330facher Zeitdehnung zeigen die Spanentstehungsstelle mit Schneidkeil, Werkstück und Span als Einzelheit. Der Vorgang stellt mit dem Anschneiden das bis zur eingestellten Vorschubgröße allmähliche Eindringen des Schneidkeils in das Werkstück dar. Der typische Fließspan mit seiner feinen Lamellenstruktur entwickelt sich schnell zu einer relativ großen Spirale. Die Spanentstehungsstelle weist mit dem allmählichen Übergang die typischen Merkmale einer Scherzone — im Gegensatz zur Scherebene — auf. Bei 5 mm Bildfeldbreite wird die Scherzonenverformung besonders deutlich.

Literatur und Filmveröffentlichungen

- [1] DOHMEN, H. G.: Zusammenfassung und Vergleich der zerspanungsmechanischen Theorien. *Industrie-Anzeiger* 87, 43 (1965), 839—844.
- [2] HUCKS, H.: Plastizitätsmechanische Grundlagen und Kenngrößen der Zerspanung. Diss. TH Aachen 1951.

¹ Nach DIN 6580: Spannungsdicke.

- [3] International research in production engineering. ASME, New York 1963.
- [4] KIENZLE, O., und H. VICTOR: Spezifische Schnittkräfte bei der Metallbearbeitung. Werkstattstechnik und Maschinenbau **47**, 5 (1957), 224—225.
- [5] RICHTER, A.: Spanende Formung (1. Lehrbrief). Lehrbriefe für das Fernstudium an der TH Dresden. Berlin 1951.
- [6] RICHTER, A.: Grundlagen der Abspanlehre. Aus: „Hütte“, Taschenbuch für Betriebsingenieure, Bd. 1, 6. Aufl. Wilhelm Ernst & Sohn, Berlin-München 1964.
- [7] RÖHLKE, G.: Zur Mechanik des Zerspanvorganges. Werkstatt und Betrieb **91**, 8 (1958), 473—483.
- [8] ROSENHAIN, W., und A. C. STURNEY: Report on flow and rupture of metals during cutting. Proceedings of the Institution of Mechanical Engineering Cutting Tools Research Committee **1** (1925), 141—174.
- [9] SCHALLBROCH, H., und H. BETHMANN: Kurzprüfverfahren der Zerspanbarkeit. Teubner, Leipzig 1950.
- [10] WIEBACH, H.-G.: Beitrag zur Untersuchung des Zerspanvorganges mit Hilfe fotografischer Methoden. Werkstattstechnik **55**, 3 (1965), 128—133.
- [11] WIEBACH, H.-G.: Untersuchung der Werkzeugbeanspruchung beim Drehen von Stahl mit kleinen Spannungsdicken. Diss. TH Hannover 1966.
- [12] ZOREW, N. N.: Der Einfluß der Grundfaktoren auf den Spanbildungsprozeß. Industrie-Anzeiger **81**, 20 (1959), 294—298.
- [13] WIEBACH, H.-G.: Schnittvorgang im Feingefüge von Stahl bei kleinen Spandicken. Film B 885 des Inst. Wiss. Film, Göttingen 1965.

Angaben zum Film

Der Film ist ein Forschungsdokument und wurde zur Auswertung in Forschung und Hochschulunterricht veröffentlicht.
Stummfilm, schwarzweiß, 50 m, 4 1/2 min (Vorführgeschw. 24 B/s).

Der Film wurde im Jahre 1964 vom Institut für den Wissenschaftlichen Film, Göttingen (Direktor: Prof. Dr.-Ing. G. WOLF), aufgenommen; Sachbearbeitung: Dr. G. BEKOW, Aufnahme: K. NOWICK. Wissenschaftliche Leitung: Dipl.-Ing. H.-G. WIEBACH, Institut für spanende Werkzeugmaschinen und Fertigungstechnik der Technischen Hochschule Hannover.

Inhalt des Films

Der Film zeigt den Zerspanungsprozeß beim Drehen von legiertem Werkzeugstahl bzw. Wälzlagerstahl 100 Cr 6 mit hartmetallbestückten Werkzeugen. Die Werkstückprobe wurde im Langdreh- und Orthogonal-Schnitt unter den betriebsüblichen v_{60} -Bedingungen zerspannt, und der Vorgang wurde in jeweils einer Übersichtsaufnahme mit normaler Bildgeschwindigkeit und in Lupenaufnahmen mit 210- bis 330facher Zeitdehnung gefilmt. Die Eigenschaften dieses verschleißfesten Werkstoffes beeinflussen die Spannbildung, so daß der Fließspan bei einer ausgeprägten Scherzonenverformung als Wirrspan entsteht.

Summary of the Film

The film shows the machining process during the turning of alloyed tool or roller bearing steel 100 Cr 6 with carbide tipped tools. The work sample was machined longitudinally and vertically under normal v_{60} conditions, and the process was filmed both at normal speed and under magnification with suitable slow-down. The properties of this wear-resistant material influence the formation of the cuttings, resulting in continuous cuttings with irregular run-off with distinct cutting area strain.

Résumé du Film

Le film montre le processus d'enlèvement de copeaux lors du tournage d'acier à outils allié, respectivement d'acier à roulement 100 Cr 6, avec des outils à plaquette de métal dur. L'échantillon de la pièce d'œuvre a été travaillé suivant la coupe longitudinale et orthogonale dans les conditions d'usage v_{60} et le processus a été filmé d'une part par une vue d'ensemble à vitesse d'images normale et d'autre part par des prises de vues à la loupe avec un ralenti prononcé. Le caractère de cette matière première très solide influence la formation de copeaux, de sorte qu'il se produit un copeau écoulant embrouillé avec en même temps une déformation de la zone de cisaillement prononcée.